

Л. Д. АЗАТЯН

ОПРЕДЕЛЕНИЕ ПАРАМЕТРОВ ДВИЖЕНИЯ ЖИДКОСТИ
ПРИ ДИФРАКЦИИ СИЛЬНОЙ МАГНИТОГАЗОДИНАМИЧЕСКОЙ
УДАРНОЙ ВОЛНЫ ОКОЛО УГЛА, БЛИЗКОГО
К РАЗВЕРНУТОМУ

В настоящей работе рассматривается нестационарная пространственная задача о движении электропроводящей сжимаемой жидкости в магнитном поле при дифракции сильной магнитогазодинамической ударной волны около угла, стороны которого образуют угол, близкий к π . При отсутствии магнитного поля данная задача рассмотрена в [1]. Исследование слабых ударных волн дано в [2], [3]. Задачи о взаимодействии сильных ударных волн с тонкими телами изучались в [4, 5].

Как указано в [6], в магнитной газодинамике почти отсутствуют результаты по решению пространственных нестационарных задач, вместе с тем решение задач по отражению магнитогазодинамических ударных волн от преград представляет как теоретический, так и практический интерес. В работах [11–13] дается решение ряда задач о дифракции сильных магнитогазодинамических ударных волн и проникновении клина в жидкость методом Смирнова–Соболева [7].

В § 1 настоящей работы рассматривается задача о дифракции сильной магнитогазодинамической ударной волны около угла, близкого к π , причем плоскость ударной волны до начала дифракции перпендикулярна, а начальное магнитное поле параллельно одной из сторон угла. Здесь определены параметры газа за скачком, и методами [7] и [1] приведено решение соответствующей граничной задачи.

В § 2 проведено устранение особенностей линейного решения на магнитозвуковой волне методом [2].

§ 1. Пусть плоская сильная магнитогазодинамическая ударная волна движется со скоростью U_0 в покоящемся электропроводящем газе, ограниченном плоской стенкой, стороны которой образуют угол $(\pi - \delta)$, выпуклый по отношению к течению. Ударная волна перпендикулярна одной из сторон стенки, начальное магнитное поле B_0 предположено перпендикулярным плоскости скачка и постоянным. Начало координат O системы (X, Y) выбрано в вершине угла, направление осей OX, OY указано на фиг. 1. После достижения скачком вершины угла O имеет место дифракционная картина (фиг. 1). Так как угол δ мал, то влияние

угла можно рассматривать как малое возмущение скачка, причем искривленную часть скачка CD можно рассматривать как результат падения ударной волны, сопровождаемого дифракцией. Область неравномерного течения $ABCD$ примыкает к области равномерного течения за фронтом невозмущенного скачка по дуге магнитозвуковой волны ABC , последняя образует границу, до которой дошла волна возмущения, порожденная малым углом δ .

В обычной газодинамике граница ABC будет представлять собой дугу окружности радиуса ct , где c — местная скорость звука. Пусть индексом O обозначены параметры покоящегося газа впереди магнитогазодинамической ударной волны, индекс 1 будем приписывать давлению P , плотности ρ , скорости частиц

газа \vec{q} , магнитному полю \vec{B} , местной скорости звука c за фронтом

невозмущенной ударной волны (прямолинейный участок скачка), а в области неравномерного течения $ABCD$ всем величинам будем приписывать индекс 2. Определим течение позади невозмущенной ударной волны. Так как вектор \vec{B} , перпендикулярен плоскости скачка (параллелен скоростям частиц газа), то параметры газа за прямолинейной частью скачка определяются из соотношений на прямом скачке уплотнения газовой динамики [1].

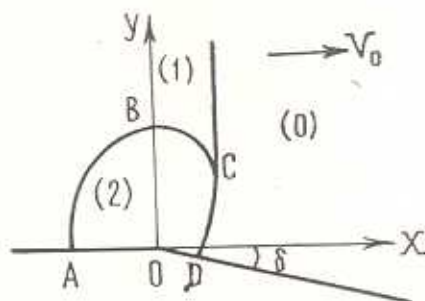
$$P_1 = \frac{2\gamma M^2 - (\gamma - 1)}{\gamma(\gamma + 1) M^2} P_0 U_0^2, \quad \rho_1 = \frac{(\gamma + 1) M^2}{(\gamma - 1) M^2 + 2} \rho_0 \\ q_1 = \frac{2(M^2 - 1)}{(\gamma - 1) M^2} U_0 \quad (1.1)$$

Здесь $M = \frac{U_0}{c_0}$ — число Маха падающей ударной волны. Для $\gamma = \frac{7}{5}$ значения этих величин даны в [1]. Введем обозначение

$$M_1 = \frac{q_1}{c_1} = \frac{q_1}{(\gamma P_1 / \rho_1)^{\frac{1}{2}}} = \frac{2(M^2 - 1)}{[2\gamma M^2 - (\gamma - 1)]^{\frac{1}{2}} [(\gamma - 1) M^2 + 2]^{\frac{1}{2}}} \quad (1.2)$$

Здесь, как и в соответствующей задаче газовой динамики [1], возможны дозвуковое и сверхзвуковое течения газа.

Для определенности рассмотрим случай $M_1 < 1$, причем для $M_1 > 1$ рассмотрение изменится незначительно [1]. В области неравномерного течения $ABCD$ параметры $P_2, \rho_2, \vec{q}_2, \vec{B}_2$ будут отличаться от параметров с индексом 1 на величины порядка δ и для нахождения величин



Фиг. 1.

$$P^* = \frac{P_2 - P_1}{\rho_1 q_1 c_1}, \quad p = \frac{q_2 - q_1}{\rho_1}, \quad \vec{q} = \frac{\vec{q}_2 - \vec{q}_1}{q_1}, \quad \vec{b} = \frac{\vec{B}_2 - \vec{B}_1}{\frac{1}{\rho_1^2} q_1} \quad (1.3)$$

может быть применена теория возмущений. Линеаризуя по \vec{b} уравнения магнитной газодинамики, получим в переменных $x = X - q_1 t$, $y = y$

$$\begin{aligned} \frac{\partial b_x}{\partial t} &= -\frac{\vec{B}_1}{\frac{1}{\rho_1^2}} \frac{\partial v}{\partial y}, \quad \frac{\partial v}{\partial t} = -c_1 \frac{\partial P^*}{\partial y} + \frac{B_1}{4\pi\rho_1^2} \left(\frac{\partial b_y}{\partial x} - \frac{\partial b_x}{\partial y} \right) \\ \frac{\partial b_y}{\partial t} &= \frac{B_1}{\frac{1}{\rho_1^2}} \frac{\partial v}{\partial x}, \quad \frac{\partial P^*}{\partial t} = -c_1 \left(\frac{\partial u}{\partial x} + \frac{\partial v}{\partial y} \right), \quad \frac{\partial u}{\partial t} = -c_1 \frac{\partial P^*}{\partial x} \end{aligned} \quad (1.4)$$

Здесь u , v — проекции вектора \vec{q} на оси $0x$, $0y$. Учитывая автомодельность задачи, можно ввести координаты

$$\xi = \frac{X - q_1 t}{c_1 t}, \quad \eta = \frac{y}{c_1 t}$$

и сократить число измерений задачи с трех до двух. Тогда уравнения (1.4) запишутся в виде

$$\begin{aligned} \xi \frac{\partial b_x}{\partial \xi} + \eta \frac{\partial b_x}{\partial \eta} &= -\frac{B_1}{\frac{1}{\rho_1^2}} \frac{\partial v}{\partial \eta}, \quad \xi \frac{\partial P^*}{\partial \xi} + \eta \frac{\partial P^*}{\partial \eta} = \frac{\partial u}{\partial \xi} + \frac{\partial v}{\partial \eta} \\ \xi \frac{\partial b_y}{\partial \xi} + \eta \frac{\partial b_y}{\partial \eta} &= -\frac{B_1}{\frac{1}{\rho_1^2}} \frac{\partial v}{\partial \xi}, \quad \xi \frac{\partial u}{\partial \xi} + \eta \frac{\partial u}{\partial \eta} = \frac{\partial P^*}{\partial \xi} \\ \xi \frac{\partial v}{\partial \xi} + \eta \frac{\partial v}{\partial \eta} &= \frac{\partial P^*}{\partial \eta} - \frac{B_1}{4\pi c_1 \rho_1^2} \left(\frac{\partial b_y}{\partial \xi} - \frac{\partial b_x}{\partial \eta} \right) \end{aligned} \quad (1.5)$$

На плоскости ξ , η область неравномерного течения имеет вид (фиг. 2). В линейной постановке кривая CD (фиг. 1) заменяется отрезком $C_1 D_1$, прямой линии: $\xi = k_\eta$ (фиг. 2), причем на $C_1 D_1$,

$$\xi = \frac{U_0 - q_1}{c_1} = \left| \frac{(\gamma - 1) M^2 + 2}{2 \gamma M^2 - (\gamma - 1)} \right|^{\frac{1}{2}} = k_0 < 1$$

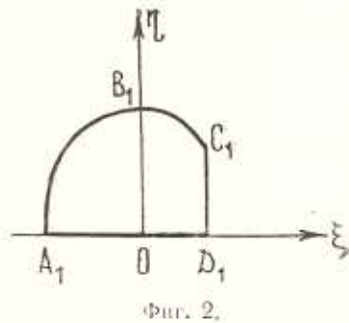
а стенка AOD аппроксимируется прямолинейным отрезком $A_1 O D_1$ оси $\eta = 0$. Границное условие на стенке выражается равенством $v = 0$ для $\xi < -M_1$, и $v = -\delta$ для $\xi > -M_1$, где $(-M_1, 0)$ — координаты вершины угла в системе (ξ, η) . На граничной дуге $A_1 B_1 C_1$

$$P^* = 0 \quad (1.6)$$

так как дуга $A_1B_1C_1$ является поверхностью слабого разрыва, на которой все функции, в частности, давление непрерывны.

Далее с использованием граничных условий на стенке и дуге $A_1B_1C_1$, показывается, что задача определения течения в области дифракции может быть решена независимо от задачи определения магнитного поля внутри клина [8]. Действительно, из второго уравнения системы (1.5) получаем, что при $\eta = 0$ (на стенке) $b_y = \text{const}$. В силу непрерывности функций на дуге $A_1B_1C_1$ (из $A_1B_1C_1$ имеем $B_1 = B_2$, $b = 0$) принимаем, что для $\xi < -M_1$ (слева от вершины) $b_y = 0$, тогда, как следует из (1.5), для $\xi > M_1$

$$b_y = -\frac{B_1 \tilde{\eta}}{\frac{1}{2} q_1}$$



Фиг. 2.

Проекция вектора \vec{B}_1 на нормаль к стенке будет

$$\vec{B}_{2n} = \vec{B}_{1n} + q_1 \xi^{\frac{1}{2}} \vec{b}_n = 0$$

Отсюда видно, что силовые линии магнитного поля обтекают стенку, следовательно, данная задача решается вне зависимости от задачи определения магнитного поля в клине, который может быть как проводящим, так и диэлектриком [8].

Найдем граничное условие для возмущенного давления P^* на стенке и в окрестности вершины угла. Из системы (1.4) можно получить

$$\left[\frac{c_1 B_1^2}{4\pi q_1} \frac{\partial^2}{\partial x^2} - \left(\frac{B_1^2}{4\pi q_1 c_1} + c_1 \right) \frac{\partial^2}{\partial t^2} \right] \frac{\partial P^*}{\partial y} = \left(\frac{\partial^2}{\partial t^2} - \frac{B_1^2}{4\pi q_1} \frac{\partial^2}{\partial x^2} \right) \frac{\partial v}{\partial t} \quad (1.7)$$

При $y = 0$ правая часть (1.7) обращается в нуль, следовательно, на стенке можно полагать

$$\frac{\partial P^*}{\partial y} = \frac{\partial P^*}{\partial \eta} = 0 \quad (1.8)$$

Условие в вершине угла получается из (1.7), где учтено, что на стенке $v = \sigma(X)(-\delta)$, $X = x + q_1 t$, что позволяет полагать $\frac{\partial}{\partial t} \Big|_x = q_1 \frac{\partial}{\partial X}$.

Здесь $\sigma(X)$ — единичная функция. Тогда из (1.7) получается при $y = \eta = 0$

$$\lim_{\eta \rightarrow 0} \int_{-M_1 - \delta}^{-M_1 + \delta} \frac{\partial P^*}{\partial \eta} d\xi = \frac{c_1 q_1 \tilde{\eta} (4\pi q_1 q_1^2 - B_1^2)}{B_1^2 (q_1^2 - c_1^2) + 4\pi q_1 c_1^2 q_1^2} \quad (1.9)$$

Для того, чтобы найти граничное условие на $\xi = k_0$, представим возмущенный фронт волны в виде

$$\xi = k_0 + f(\eta)$$

где $f(\eta)$ — функция, определяющая неизвестную форму возмущенной ударной волны CD . Записывая соотношения магнитной газодинамики [8], выполняющиеся на скачке CD и линеаризуя их относительно потока за прямолинейным скачком, получим систему уравнений, решение которой после исключения функции f имеет вид

$$u = AP^*, \quad \eta \frac{\partial v}{\partial \eta} = B \frac{\partial P^*}{\partial \eta}, \quad b_x = 0, \quad \eta \frac{\partial b_y}{\partial \eta} = C \frac{\partial P^*}{\partial \eta} \quad (1.10)$$

на $\xi = k_0$

где коэффициенты A, B, C следующие:

$$A = \left[\frac{2\gamma M^2 - (\gamma - 1)}{(\gamma - 1) M^2 + 2} \right]^{\frac{1}{2}} \frac{(M^2 + 1)}{2M^2}$$

$$B = \frac{(\gamma + 1)(M^2 - 1)}{2[(\gamma - 1)M^2 + 2 - \tilde{a}_1^2(\gamma + 1)M^2]} \quad (1.11)$$

$$C = \frac{\tilde{a}_1(\gamma + 1)(M^2 - 1)}{2[\tilde{a}_1^2(\gamma + 1)M^2 - (\gamma - 1)M^2 - 2]} \left[\frac{4\pi(\gamma + 1)M^2}{(\gamma - 1)M^2 + 2} \right]^{\frac{1}{2}}$$

$$\tilde{a}_1^2 = \frac{B_0^2}{4\pi\rho_0 U_0^2}$$

Исключая из уравнений (1.10) u, v, b_x с помощью уравнений движения (1.5), получим граничное условие на $\xi = k_0$ для одной только функции P^*

$$\frac{\partial P^*/\partial \xi}{\partial P^*/\partial \eta} = \frac{(A_0 + k_0)\eta - Bk_0\eta^{-1}}{1 - k_0^2} \quad (1.12)$$

В дополнение к (1.12) берется также условие на $\xi = k_0$, получаемое из (1.10), а также из условий $v = 0$ в точке C , и $v = -\delta$ в точке D ,

$$\int \frac{\partial v}{\partial \eta} d\eta = \int \frac{B}{\eta} \frac{\partial P^*}{\partial \eta} d\eta = \delta \quad (1.13)$$

где интегрирование ведется вдоль скачка C, D .

Итак, решается система уравнений (1.4) или (1.5) в области дифракции A, B, C, D , (фиг. 2) с граничными условиями (1.6), (1.8), (1.9), (1.12) и (1.13). Для решения сформулированной граничной задачи применяется метод Смирнова—Соболева [7], который справедлив для произвольной гиперболической системы уравнений с постоянными ко-

коэффициентами для трех независимых переменных x, y, t . Метод Смирнова—Соболева позволяет привести сформулированную задачу к граничной задаче аналитической функции и далее решать уравнение Лапласа с заданными граничными условиями. Согласно этому методу, решение системы (1.4) ищется в виде действительной части аналитической функции комплексного переменного α

$$\begin{aligned} u &= \operatorname{Re} V_x(\alpha), & v &= \operatorname{Re} V_y(\alpha), & b_c &= \operatorname{Re} B_c(\alpha) \\ b_y &= \operatorname{Re} B_y(\alpha), & P^+ &= \operatorname{Re} P(\alpha) \end{aligned} \quad (1.14)$$

где α — комплексная переменная, зависящая от x, y, t в виде

$$\alpha x + \beta(\alpha) y = t \quad (1.15)$$

Подставляя (1.14) в (1.4) и используя (1.15), можно получить соотношения

$$\begin{aligned} V_x(\alpha) &= \alpha c_1 P'(\alpha), & V_y(\alpha) &= \frac{\beta c_1}{\mu_0} P'(\alpha) \\ B_x(\alpha) &= \frac{B_1 c_1}{\frac{1}{\mu_0}} \frac{\beta^2}{\beta_1} P'(\alpha), & B_y(\alpha) &= -\frac{B_1 c_1}{\frac{1}{\mu_0}} \frac{\beta^2}{\beta_1} P'(\alpha) \end{aligned} \quad (1.16)$$

где

$$\mu_0 = 1 - \frac{E_1^2}{4\pi s_1} (\alpha^2 + \beta^2)$$

и дисперсионное уравнение для $\beta(\alpha)$, решение которого в переменных $s_1 = c_1 \alpha, \beta_1 = c_1 \beta$ имеет вид

$$\beta(\alpha) = \sqrt{\frac{(1-\alpha^2)(1-a_1^{*2}\alpha^2)}{1+a_1^{*2}-a_1^{*2}\alpha^2}} \quad (1.17)$$

где

$$a_1^{*2} = \frac{B_1^2}{4\pi s_1 c_1^2}$$

Здесь и далее индекс 1 отброшен.

Полагая в (1.15) α действительным и постоянным, получаем уравнение плоских волн. Уравнение точечной магнитозвуковой волны $A_1 B_1 C_1$, произведенной в момент $t = 0$ вершиной угла, дается как огибающая плоских волн в виде

$$\begin{cases} t = t_{\text{инф}}(x, y) \\ x_0 x + \beta(x_0) y = t_{\text{инф}} \\ x + \beta'(x_0) y = 0 \end{cases} \quad (1.18)$$

где параметры $x_0, \beta(x_0)$ — действительны. Вне точечной магнитозвуковой волны уравнение (1.15) имеет действительные значения $\alpha_0, \beta(\alpha_0)$, а внутри — α имеет комплексные значения.

Введем комплексную плоскость $K = \frac{1}{z} = \xi + i\eta$. В плоскости K

стенке AOD и магнитозвуковой волне $A_1B_1C_1$, будет соответствовать часть действительной оси $O\xi$, что же касается отрезка C_1D_1 , то при использовании функции $\beta(z)$ в виде (1.17) образом C_1D_1 будет довольно сложная кривая. В дальнейшем для того, чтобы привести задачу к решению уравнения Лапласа для возмущенного давления P^* в некоторой канонической области, предполагаем параметр a_1^{*2} малым и заменяем $\beta(z)$ формулой

$$\beta(z) \approx \beta_0(z) + \frac{\partial \beta(z)}{\partial a_1^{*2}} \Big|_{a_1^{*2}=0} = \left(1 - \frac{a_1^{*2}}{2}\right) \sqrt{1-z^2} \quad (1.19)$$

Тогда вблизи ударной волны C_1D_1 , получим

$$\xi = \frac{z}{1-(\gamma')^2}, \quad \eta = \frac{\gamma' \sqrt{1-\xi^2-(\gamma')^2}}{1-(\gamma')^2}, \quad \gamma' = \gamma \left(1 - \frac{a_1^{*2}}{2}\right) \quad (1.20)$$

Функция (1.20) отображает область плоскости ξ, η на верхнюю полуплоскость комплексной плоскости ζ, η , η с выброшенной частью, ограниченной кривой и частью действительной оси

$$\begin{aligned} \zeta^2 + \eta^2 - \frac{1+k_0^2}{k_0} \zeta + 1 &= 0 \\ k_0 < \zeta < \frac{1}{k_0} \end{aligned} \quad (1.21)$$

Промежутки

$$-\infty < \zeta < -1, \quad -1 < \zeta < k_0, \quad \frac{1}{k_0} < \zeta < \infty \quad (1.21')$$

соответствуют дуге A_1B_1 , стенке A_1OD_1 и дуге B_1C_1 , кривая (1.21) соответствует скачку C_1D_1 . Таким образом, P^* как действительная часть аналитической функции $P(z)$ будет удовлетворять уравнению Лапласа в переменных ζ, η в области, определяемой соотношениями (1.21) и (1.21'). Далее совершается конформное отображение

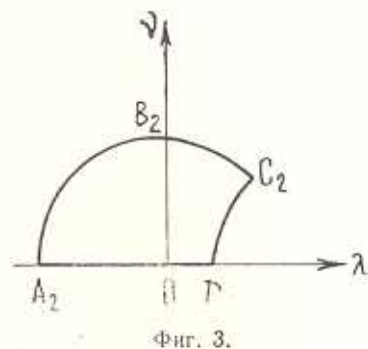
$$K = \frac{2z}{1+z^2}, \quad K = \zeta + i\eta, \quad z = i + iv = pe^{i\theta} \quad (1.22)$$

переводящее образ области дифракции в плоскости K на область $A_2B_2C_2D_2$ в комплексной плоскости $\lambda = p \cos \theta$, $v = p \sin \theta$, ограниченной отрезком $-1 < \lambda < \frac{1-k_0}{k_0}$, $v = 0$, дугой окружности единичного радиуса $v = 1$ и дугой окружности

$$2p \cos \theta = k_0 (1 + v^2) \quad (1.23)$$

с центром в точке $\left(\frac{1}{k_0}, 0\right)$, которая пересекает окружность $\rho = 1$ в точке (k_0, k_0') под прямым углом (фиг. 3), здесь $k_0' = \sqrt{1 - k_0^2}$. Здесь следует отметить, что в результате этого отображения мы получаем область такой же формы, что и в обычной газодинамике [1]. Преобразуем (1.9) и (1.12) к переменным ρ, θ . Согласно (1.20) и (1.22) связь между плоскостями ξ, η и ρ, θ можно взять в виде

$$\begin{aligned}\xi &= \frac{2\rho}{1 + \rho^2} \cos \theta \\ \eta' &= \frac{2\rho}{1 + \rho^2} \sin \theta\end{aligned}\quad (1.24)$$



Фиг. 3.

Опуская громоздкие, но простые выкладки, получаем условие (1.9) в плоскости ρ, θ в виде

$$\lim_{\nu \rightarrow 0} \int \frac{\partial P^*}{\partial \nu} d\lambda = \frac{1}{\sqrt{1 - M_1^2}} \cdot \frac{(4\rho_1 q_1^2 - B_1^2) c_1 q_1 \delta}{4\rho_1 q_1^2 c_1^2 + B_1^2 (q_1^2 - c_1^2)} \quad (1.25)$$

где

$$M_1 = M_1 + \frac{a_1^{*2} (1 - M_1^2)}{2M_1}$$

Условие (1.12) в плоскости ρ, θ запишется в виде

$$\begin{aligned}\frac{\partial P^*/\partial n}{\partial P^*/\partial s} &= \frac{[(A + k_0)(k_0)^2 - k_0(k_0')^2] k_0 \operatorname{tg} \theta - B(k_0')^2 \operatorname{ctg} \theta}{(k_0)^2 (1 - k_0^2 \sec^2 \theta)^{\frac{1}{2}}} \\ k_0' &= \sqrt{1 - k_0'^2}, \quad k_0' = k_0 + a_1^{*2} (k_0')^2 / 4k_0\end{aligned}\quad (1.26)$$

n, s отсчитываются по нормали и касательной к (1.23).

Интегральное условие на ударной волне $C_2 D_2$ дается формулой (1.13), где

$$\eta' = \eta \left(1 - \frac{a_1^{*2}}{2} \right) = k_0 \operatorname{tg} \theta \quad (1.27)$$

Соотношение (1.27) имеет место на ударной волне.

На дуге $A_2 B_2 C_2$ давление непрерывно, следовательно,

$$P^* = 0 \text{ на } ABC \quad (1.28)$$

а на стенке

$$\frac{\partial P^*}{\partial \nu} = 0 \quad (1.29)$$

Таким образом, сложную краевую задачу о дифракции магнитогазодинамической ударной волны путем аппроксимации функции $\Psi(z)$, примененной лишь в окрестности ударной волны C_2D_2 , удалось привести в плоскости p, θ к следующей краевой задаче для функции P^* . Ищется функция $P^*(p, \theta)$, удовлетворяющая уравнению Лапласа в области, границы которой определяются соотношениями

$$-1 < i < \frac{1 - k_0}{k_0}, \quad i^2 + \eta^2 = 1$$

и (1.23) (фиг. 3) при граничных условиях (1.25) — (1.29).

Эта граничная задача лишь значениями постоянных отличается от соответствующей газодинамической задачи, поэтому далее применяется метод Лайтхилла [1].

Так как в плоскости p, θ граничные условия неудобны, то применяются дополнительные конформные преобразования

$$Z = z_1 + i\eta_1 = (k_0 + ik_0) \left(i - \frac{2k_0}{z - (k_0 + ik_0)} \right), \quad z = pe^{i\theta} \quad (1.30)$$

$$z_1 = \frac{1}{2}(Z^2 + Z^{-2}), \quad Z^2 = z_1 + (z_1^2 - 1)^{\frac{1}{2}} \quad (1.31)$$

Преобразование (1.30) переводит область плоскости i, η в первый квадрант с выброшенной четвертью единичного круга с центром в начале координат на плоскости Z . При этом дуге $A_2B_2C_2$, на которой $p = 1$, соответствует часть мнимой оси Oz_1 , отрезок A_2OD_2 переходит в дугу окружности единичного радиуса, а дуга C_2D_2 окружности (1.23) переходит в часть действительной оси Oz_1 .

Граничные условия (1.25) — (1.29) преобразуются к переменным z_1, η_1 . Здесь приводится только условие (1.26), записанное в плоскости Z

$$\frac{\partial P^*/\partial p}{\partial P^*/\partial s} = \frac{\frac{[(A + k_0)(k_0 + ik_0)^2 - k_0(k_0 + ik_0)^2]k_0(Z^2 - 1)}{Z^2 + 1} - \frac{Bk_0(k_0 + ik_0)^2(Z^2 + 1)}{k_0(Z^2 - 1)}}{\left(\frac{2(k_0)^3 Z}{Z^2 + 1} \right)}$$

Преобразование (1.31) переводит область плоскости Z в верхнюю полуплоскость комплексной плоскости z_1 , причем волне $A_2B_2C_2$ будет соответствовать отрезок действительной оси $-\infty < x_1 < -1$, стенке будет соответствовать промежуток $-1 < x_1 < 1$, а ударной волне C_2D_2 — промежуток $1 < x_1 < \infty$. Условие (1.26) на ударной волне C_2D_2 в плоскости z_1 записывается в виде

$$\frac{\partial P^*/\partial y_1}{\partial P^*/\partial x_1} = \frac{\frac{Bk_0(k_0 + ik_0)^2}{(k_0)^2}(x_1 + 1) - [(A + k_0)(k_0 + ik_0)^2 - k_0(k_0 + ik_0)^2](x_1 - 1)}{(k_0)^2 \sqrt{2(x_1 - 1)}} \quad (1.32)$$

при $y_1 = 0$, $1 < x_1 < \infty$. На интервале $-1 < x_1 < 1$, $y_1 = 0$ имеем

$$\frac{\partial P^*}{\partial y_1} = 0 \quad (1.33)$$

причем в окрестности вершины угла условие (1.25) примет вид

$$\lim_{y_1 \rightarrow 0} \int \frac{\partial P^*}{\partial y_1} dx_1 = \frac{1}{V(1 - M_{1*}^2)} \cdot \frac{(4\pi\rho_1 q_1^2 - B_1^2) c_1 q_1^2}{4\pi\rho_1 q_1^2 c_1^2 + B_1^2 (q_1^2 - c_1^2)} \quad (1.34)$$

В плоскости z , вершине угла соответствует точка

$$z_1 = -\frac{(M_1 + k_0)^2 + (M_1^2 - 1)(k_0)^2}{(M_1 k_0 + 1)^2} = x_0 > -1$$

На интервале $-\infty < x_1 < -1$, $y_1 = 0$ имеем

$$\frac{\partial P^*}{\partial x_1} = 0 \quad (1.35)$$

Интегральное условие на $C_i D_i$ примет вид

$$\int_1^{-1} \frac{B}{k_0} \left(\frac{x_1 + 1}{x_1 - 1} \right)^{\frac{1}{2}} \frac{\partial P^*}{\partial x_1} dx_1 = \delta \quad (1.36)$$

Здесь использовано соотношение

$$\tau_i = k_0 \left(\frac{x_1 - 1}{x_1 + 1} \right)^{\frac{1}{2}}$$

имеющее место на $C_i D_i$.

Таким образом, пришли к следующей краевой задаче: решить уравнение Лапласа для возмущенного давления $P^*(x_i, y_i)$ в области, представляющей собой верхнюю полуплоскость комплексной плоскости z_i при граничных условиях (1.32) — (1.36). Решение для функции

$$\omega(z_1) = \frac{\partial P^*}{\partial y_1} + i \frac{\partial P^*}{\partial x_1}$$

находится методом Лавітхилла в виде [1]

$$\omega(z_1) = \frac{D\delta [E(z_1 - x_0) - 1]}{(z_1^2 - 1)^{\frac{1}{2}} (z_1 - x_0) [z_* - i(z_1 - 1)^{\frac{1}{2}}] [\beta_* - i(z_1 - 1)^{\frac{1}{2}}]} \quad (1.37)$$

где D и E определяются из граничных условий (1.34) и (1.36)

$$\begin{aligned} D = & \frac{c_1 q_1 (4\pi\rho_1 q_1^2 - B_1^2) [z_* + (1 - x_0)^{\frac{1}{2}}] [\beta_* + (1 - x_0)^{\frac{1}{2}}] [1 - x_0^2]^{\frac{1}{2}}}{\pi [1 - M_{1*}^2]^{\frac{1}{2}} [4\pi\rho_1 q_1^2 c_1^2 + B_1^2 (q_1^2 - c_1^2)]} \\ & \end{aligned}$$

$$\begin{aligned} & \frac{(1 - M_{1*}^2)^{\frac{1}{2}} (M_1 k_0 + 1)^2 [4\pi\rho_1 q_1^2 c_1^2 + B_1^2 (q_1^2 - c_1^2)]}{2B(M_1 + k_0)(1 - M_1^2)^{\frac{1}{2}} (4\pi\rho_1 q_1^2 - B_1^2) c_1 q_1} = \\ & = E \frac{(\alpha_* + \gamma_*) (\beta_* + \gamma_*)}{\alpha_* \beta_*} - \frac{\alpha_* + \beta_* + \gamma_*}{\alpha_* \beta_* \gamma_*} \end{aligned}$$

где $\gamma_* = 1 - x_0 = 2(M_1 + k_0)^2 / (M_1 k_0 + 1)^2$, а α_* и β_* определяются из уравнений

$$\begin{aligned} \alpha_* + \beta_* &= \frac{\sqrt{2} (k_0')^4}{[(A + k_0)(k_0')^2 - k_0(k_0')^2](k_0)^2 - B k_0 (k_0')^2] \\ \alpha_* \beta_* &= \frac{2B k_0 (k_0')^2}{[(A + k_0)(k_0')^2 - k_0(k_0')^2](k_0)^2 - B k_0 (k_0')^2]} \end{aligned}$$

Таким образом, получено решение задачи о дифракции сильной магнитогазодинамической ударной волны около угла, близкого к развернутому, в форме (1.37).

Определим форму искривленной ударной волны CD (в линейной постановке для ударной волны имеем $\xi = k_0$, $f(\eta) = 0$). Наклон касательной в произвольной точке ударной волны к оси $O\eta$ определяется по формуле

$$\frac{d\xi}{d\eta} = f'(\eta)$$

Из соотношений, которые должны выполняться на косом скачке уплотнения в магнитной газодинамике [8], можно получить

$$v = - \left[1 + \frac{\tilde{a}_1^2 (\gamma + 1) M^2}{(\gamma - 1) M^2 + 2} \right] f' \quad (1.38)$$

Согласно уравнению (1.10) на ударной волне C,D , имеет место

$$v = v_0 + \int_0^{\tilde{\eta}} \frac{B}{\eta} dP^*$$

где v_0 есть значение v в точке D , которое равно $-\tilde{a}_*$, то есть

$$v = -\tilde{a}_* + \int_0^{\tilde{\eta}} \frac{B}{\eta} dP^* \quad (1.39)$$

Подставляя (1.39) в (1.38), получим

$$\begin{aligned}
f' = & \left[1 + \frac{\tilde{a}_1^2(\gamma+1)M^2}{(\gamma-1)M^2+2} \right]^{-1} \left(\tilde{z} - \int_0^{\tilde{z}} \frac{B}{\eta} \frac{\partial P^*}{\partial \eta} d\eta \right) = \\
= & \left[1 + \frac{\tilde{a}_1^2(\gamma+1)M^2}{(\gamma-1)M^2+2} \right]^{-1} \left[\tilde{z} - \int_1^{\tilde{z}} \frac{B}{k_0} \left(\frac{x_1+1}{x_1-1} \right)^{\frac{1}{2}} \times \right. \\
\times & \left. \frac{D\delta [E(x_1-x_0)-1](x_0+\beta_*) (x_1-1)^{\frac{1}{2}}}{(x_1^2-1)^{\frac{1}{2}} (x_1-x_0)(x_0^2+x_1-1)(\beta_*^2+x_1-1)} dx_1 \right] \quad (1.40)
\end{aligned}$$

Далее основное внимание уделяется исследованию полученного решения в окрестности фронта магнитозвуковой волны ABC .

§ 2. Уравнение магнитозвуковой волны ABC дается формулой (1.18). Полагая вблизи волны $z = z_0 + z'$, подставляя в уравнение (1.15) и учитывая (1.18), получим

$$z' = -i \sqrt{\frac{2}{-\beta''(z_0)y}} V t - t_{\text{инф}} \quad (2.1)$$

Из формул (1.22), (1.30), (1.31), (2.1) вблизи части $-\infty < x_1 < -1$ действительной оси Ox_1 , соответствующей волне ABC , можно получить

$$x_1 = \frac{1}{2} \left(I^2 + \frac{1}{I^2} \right), \quad y_1 = \frac{I_1(\theta)}{\sqrt{t}} V t - t_{\text{инф}}, \quad (2.2)$$

где

$$c_1 z_0 = \cos \theta, \quad k_0 = \cos \varphi, \quad I = i \frac{\cos \varphi - \cos \theta}{1 - \cos(\varphi - \theta)}$$

$$I_1(\theta) = \frac{\sin \varphi [(\cos \varphi - \cos \theta)^2 + (1 - \cos(\theta - \varphi))^2]}{\sin \theta [1 - \cos(\theta - \varphi)]^2 (\cos \varphi - \cos \theta)^2} \frac{c_1}{\sqrt{\frac{2(\beta - z_0 \beta')}{-\beta''(z_0)}}}$$

Из формулы (1.37) на интервале $-\infty < x_1 < -1$ действительной оси плоскости z_1 , соответствующем магнитозвуковой волне ABC , имеем

$$\begin{aligned}
\frac{\partial P^*}{\partial y_1} &= a_1(\theta) \\
a_1(\theta) &= \frac{D\delta [E(x_1-1)-1]}{(x_1^2-1)^{\frac{1}{2}} (x_1-x_0) [\beta_* + (1-x_1)^{\frac{1}{2}}] [\beta_* + (1+x_1)^{\frac{1}{2}}]} \quad (2.3)
\end{aligned}$$

Из (2.3) с учетом того, что впереди волны ABC $P^* = 0$, получим

$$P = p_1 q_1 c_1 P^* = \frac{B(\theta)}{\sqrt{t}} \quad z = t - t_{\text{инф}}, \quad (2.4)$$

где

$$B(\theta) = p_1 q_1 c_1 a_1(\theta) I_1(\theta)$$

Полученное линейное решение (2.4) имеет особенность на волне ABC , так как на ней производная $\frac{\partial P}{\partial t}$ бесконечна. Для устранения особенности линейного решения вблизи волны и получения равномерно точного нелинейного решения применим метод [2] замены в линейном решении (2.4) характеристической переменной. Тогда нелинейное решение в окрестности волны ABC получится в виде

$$P = \frac{B(t)}{\sqrt{t}} V_{y_2} \quad (2.5)$$

где $y_2 = \text{const}$ есть уже уравнение нелинейных характеристик позади волны ABC . Уравнение характеристики можно получить из уравнения для скорости поверхности волны $F(x, y, t) = 0$

$$\frac{-\frac{\partial F}{\partial t}}{|\operatorname{grad} F|} = C_n + V_n \quad (2.6)$$

где $C_n + V_n$ есть нормальная скорость магнитозвуковой волны, V_n — нормальная к волне скорость частицы, причем имеет место уравнение в нелинейной задаче [8]

$$C_n^2 - (c_1^2 + a_1^2) C_n^2 + c_1^2 a_{1n}^2 = 0, \quad a_1^2 = \frac{B_1^2}{4\pi\rho_1}, \quad a_{1n}^2 = \frac{B_{1n}^2}{4\pi\rho_1} \quad (2.7)$$

C_n — нормальная скорость волны относительно частиц газа. Для скорости магнитозвуковой волны имеем в первом порядке относительного возмущенного давления P .

$$C_n + V_n = c_n + U_n + x^0 P$$

где $c_n + U_n$ — нормальная скорость волны для невозмущенного потока. Значение x^0 можно получить из (2.7), записанного в первом порядке относительно P , и с использованием условий совместности на волне или (1.16) в виде

$$x_1^0 = -\frac{\gamma+1}{2} \frac{c_n^2 - a_1^2}{c_1^2 + a_1^2 - 2c_n^2} + \frac{3}{2} \frac{c_1^2 - c_n^2}{c_1^2 + a_1^2 - 2c_n^2}$$

Из уравнения (2.6) в силу соотношений

$$|\operatorname{grad} F| = -|\operatorname{grad} z| \left| \frac{\partial F}{\partial z}, \frac{\partial F}{\partial t} \right|_{x, y} = \frac{\partial F}{\partial t} \Big|_z + \frac{\partial F}{\partial z} \Big|_t, \quad |\operatorname{grad} z| = \frac{1}{c_n + U_n}$$

получится [9]

$$\frac{\partial z}{\partial t} = -\frac{x^0}{c_n} P, \quad \text{где } c_n' = c_n + U_n \quad (2.8)$$

Подставляя (2.5) в (2.8) и интегрируя, получим уравнение нелинейных характеристик

$$\tau = -\sqrt{y_2} \int_0^t \frac{x^0}{c_n} \frac{B(\theta)}{\sqrt{t}} dt + y_2 \quad (2.9)$$

Формулы (2.5) и (2.9) дают параметрическое представление нелинейного решения в окрестности волны ABC. Условие на слабой ударной волне можно получить в виде [9]

$$\frac{\partial z}{\partial t} = -\frac{x^0}{c_n} \frac{P}{2} \quad (2.10)$$

Подставляя (2.9) в (2.10) и интегрируя, получим формулу, выражающую y_2 через t на ударной волне

$$y_2^{\frac{1}{2}} = \frac{3}{2} \frac{x^0}{c_n} B(\theta) \sqrt{t} \quad (2.11)$$

Из этой формулы видно, что ударная волна существует при $B(\theta) > 0$, то есть при $\dot{\theta} < 0$, при $B(\theta) < 0$, $\dot{\theta} > 0$ имеет место непрерывный переход (действительной ударной волны не существует). Давление находится по формуле (2.5) в виде

$$P = \frac{3}{2} \frac{x^0}{c_n} B^2(\theta) \quad (2.12)$$

то есть P есть малая порядка $\dot{\theta}^2$. Уравнение ударной волны получится в виде

$$\tau = -\frac{3}{4} \left(\frac{x^0}{c_n} \right)^2 B^2(\theta) t = t - t_{\text{инф}} \quad (2.13)$$

то есть ударная волна находится впереди магнитозвуковой волны $\tau = 0$. Вблизи точки C, в которой $\theta = \varphi$, можно полагать $\theta - \varphi = \theta'$,

$$l \approx t \frac{2 \sin \varphi}{\theta'}, \quad x_1 \approx \frac{1}{2} l^2$$

и согласно (2.2), (2.3), (2.4), получится

$$\frac{B(\theta)}{\dot{\theta}} = \frac{2 D E q_1 p_1 c_1 \theta'}{(\alpha_* \theta' + \sqrt{2} \sin \varphi) (\theta' \beta_* + \sqrt{2} \sin \varphi) (\sin \varphi + \theta' \cos \varphi)}$$

откуда видно, что при $\theta' = 0$, то есть в точке C, $B(\theta) = 0$ и ударная волна в этой точке затухает. В газовой динамике этот факт отмечен в [10].

В заключение автор благодарит А. Г. Багдоева за постановку задачи, обсуждение результатов и ценные советы.

Институт механики
АН Армянской ССР

Поступила 28.11.1980

Л. Д. АЗАТИАН

ՀԵՂՈՒԿԻ ՇԱՐԺՄԱՆ ՊԱՐԱՄԵՏՐԵՐԻ ՈՐՈՇՈՒՄԸ ՓԱՎԱԽԻՆ ՄԱՏԻԿ
ԱՆԿՅԱՆ ՇՈՒՐՋԸ ՈՒԺԵՂ ՄԱԳՆԻՍԱԴԱՐԴԻՆԱՄԻԿԱԿԱՆ ՀԱՐՎԱՍԱՅԻՆ
ԱԼՔԻ ԳԻՖՐԱԿՑԻԱՅԻ ԺԱՄԱՆԱԿ

Ա մ փ ռ փ ռ ւ մ

Աշխատանքում դիտարկվում է ուժեղ մագնիսագազադինամիկական հարվածային ալիքի դիֆրակցիայի խնդիրը պատի շուրջը, որի կողմերը կազմում են շարժման ուղղության նկատմամբ ($\pi - \delta$) ուղղությունը: Հաստատում ինտենսիվությունը ունեցող հարվածային ալիքի ետևում շարժման պարամետրերի համար գտնված են անալիտիկ առնչություններ: Սմիրնով-Սոբոլկի մեթոդի կիրառումից հետո անալիտիկ ֆունկցիաների որոշման համար ստացվում է եզրային խնդիր, որը լուծվում է Լայբլինի մեթոդով: Կատարվում է ստացված դժային լուծման եզրակիության վերացումը արագ մագնիսակուստիկ ալիքի վրա, ինչպես նաև ուսումնասիրվում է գծային լուծումը դանդաղ մագնիսակուստիկ ալիքի եղակի կետի շրջակայրում:

THE DETERMINATION OF MOTION PARAMETERS OF THE FLUID IN THE PROBLEM FOR DIFFRACTION OF A STRONG MAGNETOGASDYNAMIC SHOCK WAVE AT THE ANGLE CLOSE TO A BLUNT ONE

L. D. AZATIAN

S u m m a r y

The problem for diffraction of a strong magnetogasdynamics shock wave near the wall, with sides forming ($\pi - \delta$) angle, convex to the flow, is considered. The analytical relations for the motion parameters behind the shock wave of constant strength are found. Applying the Smirnov-Sobolev method, the boundary value problem for determination of analytical functions is obtained and solved by the Lighthill method. The elimination of the singularity of the obtained linear solution on a fast magnetoacoustic wave is carried out.

The investigation of the linear solution in the vicinity of a singular point of a slow magnetoacoustic wave is also made.

ЛИТЕРАТУРА

1. *Lighthill M. J.* The diffraction of blast. I. Proceedings of the Royal Society, London, A 198, 1949.
2. Узем Дж. Линейные и нелинейные волны. М., «Мир», 1977.
3. Рыков О. С., Христианович С. А. О нелинейном отражении слабых ударных волн. ПММ, 1958, т. XXII, вып. 5.
4. Григорян С. С. О движении тонкого твердого тела под действием сильной ударной волны. Изв. АН СССР, ОТН, Механика и машиностроение, 1959, № 1.
5. Лудольф. Аэродинамика взрывных волн. Проблемы механики. Сб. статей под редакцией Р. Мизеса и Т. Кармана, М., Изд. ИЛ, 1955.
6. Коган М. Н., Коробейников В. П., Кулиновский А. Г., Любимов Г. А. Механика разреженного газа и магнитная гидродинамика. Механика в СССР за 50 лет, механика жидкости и газа, т. 2, М., «Наука», 1970.
7. Франк и Мизес. Дифференциальные и интегральные уравнения математической физики, Л.—М., ОНТИ, 1937.
8. Калихман Л. Е. Элементы магнитной газодинамики. М., Атомиздат, 1964.
9. Багдоев А. Г., Даноян З. Н. Исследование движения среды в окрестности точки касания ударных волн. Ж. вычис. матем. и матем. физики, 1972, т. 12, № 6.
10. Tan H. S. Strength of reflected shock in Mach reflection. J. Aeronaut. Sci., 1951, v. 18, № 11.
11. Азатян Л. Д., Багдоев А. Г. Некоторые задачи дифракции волн в электропроводящей жидкости. Краткие тезисы докладов VI Всесоюзного симпозиума по «Теории дифракции и распространению волн», кн. 2, Ереван, 1973.
12. Азатян Л. Д., Багдоев А. Г. Проникновение клина в электропроводящую жидкость в присутствии магнитного поля. Изв. АН Армянской ССР, Механика, 1976, т. XXIX, № 2.
13. Азатян Л. Д. Задача о дифракции сильной магнитогазодинамической ударной волны около клина. Изв. АН Армянской ССР, Механика, 1974, т. XXVII, № 5.